



NetWorks Sp. z o.o.
Laboratorium Badań Środowiskowych
ul. Józefa Piusa Dziekońskiego 3
00-728 Warszawa
e-mail: Laboratorium@networks.pl



AB 419

S P R A W O Z D A N I E 5387/2025/OS
Z POMIARÓW PÓL ELEKTROMAGNETYCZNYCH
WYKONANYCH DLA POTRZEB OCHRONY ŚRODOWISKA

Badany obiekt: Instalacja radiokomunikacyjna Orange Polska S.A.
Numer i nazwa: 14803 (77208N!) WROCLAW WITA 2 (PWR_WROCLAW_PLDOMINIKANSK)
Adres: WROCLAW, PL. DOMINIKAŃSKI 2-4, Powiat m. Wrocław, WOJ. DOLNOŚLĄSKIE

Data wykonania pomiarów: 2026-06-12

Sprawozdanie z badań bez pisemnej zgody laboratorium nie może być powielane inaczej niż w całości.
Wyniki przedstawione w niniejszym sprawozdaniu odnoszą się wyłącznie do badanego obiektu i do warunków i konfiguracji urządzeń w dniu wykonywania pomiarów.

1. Właściciel badanego obiektu:

Orange Polska S.A., Al. Jerozolimskie 160, 02-326 Warszawa

2. Zleceniodawca:

Orange Polska S.A., Al. Jerozolimskie 160, 02-326 Warszawa

3. Przedstawiciel zleceniodawcy:

NetWorks Sp. z o.o.

4. Zakres zlecenia:

Wykonanie badania i opracowanie sprawozdania z pomiarów natężenia pola elektrycznego i pola magnetycznego dla instalacji radiokomunikacyjnej Orange Polska S.A. zlokalizowanej w miejscowości WROCLAW, PL. DOMINIKANSKI 2-4.

5. Cel zlecenia:

Wykonanie pomiarów pól elektromagnetycznych w otoczeniu instalacji radiokomunikacyjnej 14803 (77208N!) WROCLAW WITA 2 (PWR_WROCLAW_PLDOMINIKANSK) w odniesieniu do wymagań określonych w *Rozporządzeniu Ministra Klimatu z dnia 17 lutego 2020 r. w sprawie sposobów sprawdzania dotrzymania dopuszczalnych poziomów pól elektromagnetycznych w środowisku (Dz.U. 2022 poz. 2630)*.

6. Pomiary zostały wykonane przez:

Łuczak Wojciech
Mroczyński Marcin

7. Informacje o źródłach pól elektromagnetycznych**7.1. Sposób identyfikacji badanych źródeł pól elektromagnetycznych**

Identyfikacji źródeł i parametrów technicznych dokonano na podstawie analizy dokumentacji dotyczącej zlecenia oraz obserwacji miejsca wykonywania badań.

7.2. Opis miejsca zainstalowania anten i urządzeń technicznych. Opis obiektu badań i jego otoczenia

Instalacja radiokomunikacyjna zlokalizowana jest na kościele. Anteny zawieszono na wieży kościelnej. Urządzenia sterujące oraz zasilające zainstalowano w szafie outdoor w wieży kościoła. Wokół instalacji znajduje się miasto.

Instalacja radiokomunikacyjna jest obiektem bezobsługowym. Okresowe stanowiska pracy związane są z prowadzonymi w zależności od potrzeb konserwacjami, przeglądami, strojeniem i naprawami.

7.3. Parametry techniczne źródła pola elektromagnetycznego

Dane przedstawiające maksymalne parametry pracy instalacji przekazane przez zleceniodawcę:

Parametry systemu nadawczo-odbiorczego:

| Charakterystyka promieniowania | | Kierunkowa | | | | | |
|---------------------------------|--|----------------------|--------------|------------|---------------------------------|--|--|
| Rzeczywisty czas pracy [h/dobę] | | 24 | | | | | |
| Warunki pracy | | Znamionowe | | | | | |
| Rodzaj wytwarzanego pola | | Stacjonarne | | | | | |
| Lp. | Częstotliwość lub zakresy częstotliwości pracy [MHz] | Typ/producent anteny | liczba anten | Azymut [°] | kąt pochylenia [°] | Wysokość środka elektrycznego anteny [m n.p.t] | Równoważna moc promieniowana izotropowo (EIRP) [W] |
| 1 | 800/900/1800/2100 | 80010290v02 Kathrein | 1 | 15 | 0-12**/0-12**/ 0-12**/0-12** | 41 | 14108 |
| 2 | 2600 | ADU4518R6v06 Huawei | 1 | 15 | 0-12** | 41 | 9820 |
| 3 | 800/900/1800/2100 | 80010290v02 Kathrein | 1 | 150 | 0-12**/0-12**/ 0-12**/0-12** | 41 | 14108 |
| 4 | 2600 | ADU4518R6v06 Huawei | 1 | 150 | 0-12** | 41 | 9730 |
| 5 | 800/900/1800/2100 | 80010290v02 Kathrein | 1 | 285 | 0-12**/0-12**/ 0-12**/0-12** | 41 | 14108 |
| 6 | 2600 | ADU4518R6v06 Huawei | 1 | 285 | 0-12** | 41 | 9820 |

* wskazane wartości kąta pochylenia anten, zgodnie z informacją uzyskaną od zleceniodawcy, są wartościami stałymi

** pomiary wykonano zgodnie z pkt 13., ppkt 2 załącznika do Rozporządzenia Ministra Klimatu z dnia 17 lutego 2020 r. (Dz. U. 2022, poz. 2630).

Transmisja realizowana drogą kablową.

7.4 Inne źródła pól elektromagnetycznych

Na podstawie informacji otrzymanych od użytkownika oraz obserwacji otoczenia miejsca wykonywania pomiarów stwierdzono występowanie innych źródeł pola-EM, pracujących w systemach: telefonii komórkowej (800MHz-3800MHz), które istotnie wpływają na wyniki pomiarów.

8. Opis pomiarów

8.1. Metoda badań

Zgodna z rozporządzeniem Ministra Klimatu z dnia 17 lutego 2020 r. w sprawie sposobów sprawdzania dotrzymania dopuszczalnych poziomów pól elektromagnetycznych w środowisku (Dz.U. 2022 poz. 2630), określona w pkt 25 ppkt 1 załącznika do niniejszego rozporządzenia.

8.2. Termin pomiarów i warunki środowiskowe

Podczas wykonywania pomiarów pól elektromagnetycznych nie występowały opady atmosferyczne. Wyniki pomiaru parametrów pogodowych przedstawia poniższa tabela:

| Data [rrrr-mm-dd] | Godzina [hh:mm-hh:mm] | Warunki środowiskowe | | | |
|-------------------|-----------------------|----------------------|--------------|-------------------------|--------------|
| | | Temperatura [°C] | | Wilgotność względna [%] | |
| 2026-06-12 | 08:30-09:35 | Przed pomiarem | Po pomiarach | Przed pomiarem | Po pomiarach |
| | | 14.0 | 16.0 | 69.0 | 65.4 |

Przedstawione wyżej warunki środowiskowe, występujące podczas wykonywania pomiarów pól elektromagnetycznych, są zgodne ze specyfikacją techniczną użytego zestawu pomiarowego.

8.3. Warunki pracy urządzeń nadawczych

Podczas pomiarów w przypadku uzyskania wyniku pomiaru szerokopasmowego wykonanego zastosowaną metodą, dla zakresów częstotliwości od 10 MHz do 300 GHz, powiększonego o rozszerzoną niepewność pomiaru U dla współczynnika rozszerzenia $k = 2$ przekraczającego 70% najniższej dopuszczalnej wartości składowej elektrycznej lub magnetycznej pola dla objętych pomiarami zakresów częstotliwości, uwzględnia się poprawki pomiarowe przekazane przez zleceniodawcę, umożliwiające uwzględnienie maksymalnych parametrów pracy instalacji zgodnie z pkt 7 załącznika do Rozporządzeniem Ministra Klimatu z dnia 17 lutego 2020 r. w sprawie sposobów sprawdzania dotrzymania dopuszczalnych poziomów pól elektromagnetycznych w środowisku (Dz. U. 2022, poz. 2630) zaznaczając, że wymagane jest wykonanie pomiaru z wykorzystaniem miernika selektywnego. W przypadku uzyskania wyniku pomiaru szerokopasmowego wykonanego zastosowaną metodą, dla zakresów częstotliwości od 10 MHz do 300 GHz, powiększonego o rozszerzoną niepewność pomiaru U dla współczynnika rozszerzenia $k = 2$ nieprzekraczającego 70% najniższej dopuszczalnej wartości składowej elektrycznej lub magnetycznej pola dla objętych pomiarami zakresów częstotliwości, nie uwzględnia się poprawek pomiarowych.

8.4. Wyposażenie pomiarowe

Zestaw pomiarowy służący do pomiaru natężenia składowej elektrycznej pola elektromagnetycznego złożony z szerokopasmowego miernika i sondy pomiarowej:

| Oznaczenie miernika | Producent | Model | Numer fabryczny | Oznaczenie sondy | Producent | Model | Numer fabryczny |
|---------------------|----------------------------|---|-----------------|------------------|----------------------------|----------------|-----------------|
| MF-04 | Narda Safety Test Solution | Miernik pól elektromagnetycznych Narda FieldMan | C-0167 | SF-07 | Narda Safety Test Solution | Sonda EFD-9091 | A-0063 |

Mierniki natężenia pola elektromagnetycznego podlegają okresowemu sprawdzeniu zgodnie z procedurą wewnętrzną P-03 i PB-01. Świadectwo wzorcowania zestawu pomiarowego z dnia 2 grudnia 2024 o numerze LWiMP/W/417/24 wydane przez Politechnika Wrocławską. Data następnego wzorcowania: 2 grudnia 2026 (zgodnie z procedurą wewnętrzną P-03).

Termohigrometr:

| Oznaczenie: | TH-20 | Producent: | AZ INSTRUMENT CORP | Model: | Termohigrometr AZ8706 |
|-------------|-------|------------|--------------------|--------|-----------------------|
|-------------|-------|------------|--------------------|--------|-----------------------|

Data następnego wzorcowania: 23 maja 2027 (zgodnie z procedurą wewnętrzną P-03).

Dalmierz:

| Oznaczenie | Producent | Typ | Numer seryjny | Nr świadectwa wzorcowania | Data świadectwa wzorcowania |
|------------|-----------|---------------------------|---------------|-----------------------------|-----------------------------|
| D-17 | Leica | Dalmierz Leica Disto D510 | 1096585340 | L4-L41.4180.205.2021.4102.1 | 16 grudnia 2021 |

Data następnego wzorcowania: 16 grudnia 2031 (zgodnie z procedurą wewnętrzną P-03).

Odbiornik GNSS:

| Odbiornik GNSS wbudowany w miernik natężenia pola elektromagnetycznego użyty podczas pomiarów | Producent | Model |
|---|-----------|---------|
| | UBlox | NEO-M8T |

Odbiorniki podlegają okresowemu sprawdzeniu zgodnie z procedurą wewnętrzną P-03.

9. Wyniki pomiarów

Pomiary wykonano na terenach przeznaczonych pod zabudowę mieszkaniową w obszarze pomiarowym, w którym na podstawie uprzednio przeprowadzonych obliczeń (OOP* 3872/2025/RP), stwierdzono występowanie w danych zakresach częstotliwości pól elektromagnetycznych o poziomach zbliżonych do poziomów dopuszczalnych, określonych w przepisach wydanych na podstawie art. 122 ust. 1 ustawy z dnia 27 kwietnia 2001 r. – Prawo ochrony środowiska.

*OOP - Obligatoryjny Obszar Pomiarowy - opracowanie przedstawia przewidywane rozkłady pól elektromagnetycznych w otoczeniu instalacji radiokomunikacyjnej.

Pole elektryczne

| Nr pionu | Opis umiejscowienia pionu (punktu pomiarowego) | Wysokość pomiaru [m] | Zmierzona wartość natężenia pola elektrycznego E [V/m] ^{1,5} | Wartość natężenia pola elektrycznego powiększona o niepewność pomiaru ⁴ E [V/m] | Wskaźnikowa wartość poziomu emisji pól elektromagnetycznych WMe ³ | Współrzędne geograficzne pionu (punktu pomiarowego) ² |
|----------|---|----------------------|---|--|--|--|
| 1 | GKP w odległości poziomej 10m od anteny sektorowej az. 150° | 0.3-2.0 | <1.0* | 1.3 | 0.05 | 51°6'32.8" 17°2'22.2" |
| 2 | GKP w odległości poziomej 25m od anteny sektorowej az. 150° | 0.3-2.0 | <1.0* | 1.3 | 0.05 | 51°6'32.4" 17°2'22.9" |
| - | GKP w odległości poziomej 254m od anteny sektorowej az. 15° | 0.3-2.0 | <1.0* | 1.3 | 0.05 | 51°6'41.4" 17°2'25.4" |
| 4 | GKP w odległości poziomej 95m od anteny sektorowej az. 15° | 0.3-2.0 | <1.0* | 1.3 | 0.05 | 51°6'36.4" 17°2'23.3" |
| 5 | GKP w odległości poziomej 77m od anteny sektorowej az. 15° | 0.3-2.0 | <1.0* | 1.3 | 0.05 | 51°6'35.6" 17°2'23.3" |
| 6 | PKP na az. 24° w odległości poziomej 82m od anteny sektorowej az. 15° | 0.3-2.0 | <1.0* | 1.3 | 0.05 | 51°6'35.6" 17°2'23.6" |
| 7 | PKP na az. 25° w odległości poziomej 49m od anteny sektorowej az. 15° | 0.3-2.0 | <1.0* | 1.3 | 0.05 | 51°6'34.6" 17°2'23.3" |
| 8 | DPP - W kościele | 0.3-2.0 | <1.0* | 1.3 | 0.05 | 51°6'33.5" 17°2'21.1" |
| 9 | GKP w odległości poziomej 28m od anteny sektorowej az. 285° | 0.3-2.0 | <1.0* | 1.3 | 0.05 | 51°6'33.5" 17°2'20.4" |
| 10 | GKP w odległości poziomej 59m od anteny sektorowej az. 285° | 0.3-2.0 | <1.0* | 1.3 | 0.05 | 51°6'33.8" 17°2'19.0" |
| 11 | GKP w odległości poziomej 89m od anteny sektorowej az. 285° | 2.0 | 1.5 | 1.9 | 0.07 | 51°6'33.8" 17°2'17.5" |
| - | GKP w odległości poziomej 259m od anteny sektorowej az. 285° | 2.0 | 2.5 | 3.2 | 0.11 | 51°6'35.3" 17°2'8.9" |
| 13 | GKP w odległości poziomej 38m od anteny sektorowej az. 150° | 0.3-2.0 | <1.0* | 1.3 | 0.05 | 51°6'32.0" 17°2'22.9" |
| 14 | PKP na az. 327° w odległości poziomej 66m od anteny sektorowej az. 15° | 0.3-2.0 | <1.0* | 1.3 | 0.05 | 51°6'35.3" 17°2'20.0" |
| 15 | DPP - za trwale zamkniętym oknem Pokój 607 w hotelu Mercure, piętro 6, plac Dominikański 1, Wrocław | 0.3-2.0 | <1.0* | 1.3 | 0.05 | 51°6'31.7" 17°2'22.9" |
| - | GKP w odległości poziomej 255m od anteny sektorowej az. 150° | 2.0 | 2.8 | 3.6 | 0.13 | 51°6'25.9" 17°2'28.7" |

Sprawozdanie z badań bez pisemnej zgody laboratorium nie może być powielane inaczej niż w całości.

Wyniki przedstawione w niniejszym sprawozdaniu odnoszą się wyłącznie do badanego obiektu i do warunków i konfiguracji urządzeń w dniu wykonywania pomiarów.

| | | | | | | |
|----|---|---------|-------|-----|------|--------------------------|
| 17 | GKP w odległości poziomej 108m od anteny sektorowej az. 15° | 0.3-2.0 | <1.0* | 1.3 | 0.05 | 51°6'36.7" 17°2'23.6" |
|----|---|---------|-------|-----|------|--------------------------|

Pole magnetyczne (wyznaczone na podstawie pomiaru wartości natężenia pola elektrycznego)

| Nr pionu | Opis umiejscowienia pionu (punktu pomiarowego) | Wysokość pomiaru [m] | Wartość natężenia pola magnetycznego H [A/m] ¹ | Wartość natężenia pola magnetycznego powiększona o niepewność pomiaru ⁴ H [A/m] | Wskaźnikowa wartość poziomu emisji pól elektromagnetycznych WM _H ³ | Współrzędne geograficzne pionu (punktu pomiarowego) ² |
|----------|---|----------------------|---|--|--|--|
| 1 | GKP w odległości poziomej 10m od anteny sektorowej az. 150° | 0.3-2.0 | <0.003* | 0.003 | 0.05 | 51°6'32.8" 17°2'22.2" |
| 2 | GKP w odległości poziomej 25m od anteny sektorowej az. 150° | 0.3-2.0 | <0.003* | 0.003 | 0.05 | 51°6'32.4" 17°2'22.9" |
| - | GKP w odległości poziomej 254m od anteny sektorowej az. 15° | 0.3-2.0 | <0.003* | 0.003 | 0.05 | 51°6'41.4" 17°2'25.4" |
| 4 | GKP w odległości poziomej 95m od anteny sektorowej az. 15° | 0.3-2.0 | <0.003* | 0.003 | 0.05 | 51°6'36.4" 17°2'23.3" |
| 5 | GKP w odległości poziomej 77m od anteny sektorowej az. 15° | 0.3-2.0 | <0.003* | 0.003 | 0.05 | 51°6'35.6" 17°2'23.3" |
| 6 | PKP na az. 24° w odległości poziomej 82m od anteny sektorowej az. 15° | 0.3-2.0 | <0.003* | 0.003 | 0.05 | 51°6'35.6" 17°2'23.6" |
| 7 | PKP na az. 25° w odległości poziomej 49m od anteny sektorowej az. 15° | 0.3-2.0 | <0.003* | 0.003 | 0.05 | 51°6'34.6" 17°2'23.3" |
| 8 | DPP - W kościele | 0.3-2.0 | <0.003* | 0.003 | 0.05 | 51°6'33.5" 17°2'21.1" |
| 9 | GKP w odległości poziomej 28m od anteny sektorowej az. 285° | 0.3-2.0 | <0.003* | 0.003 | 0.05 | 51°6'33.5" 17°2'20.4" |
| 10 | GKP w odległości poziomej 59m od anteny sektorowej az. 285° | 0.3-2.0 | <0.003* | 0.003 | 0.05 | 51°6'33.8" 17°2'19.0" |
| 11 | GKP w odległości poziomej 89m od anteny sektorowej az. 285° | 2.0 | 0.004 | 0.005 | 0.07 | 51°6'33.8" 17°2'17.5" |
| - | GKP w odległości poziomej 259m od anteny sektorowej az. 285° | 2.0 | 0.007 | 0.008 | 0.12 | 51°6'35.3" 17°2'8.9" |
| 13 | GKP w odległości poziomej 38m od anteny sektorowej az. 150° | 0.3-2.0 | <0.003* | 0.003 | 0.05 | 51°6'32.0" 17°2'22.9" |
| 14 | PKP na az. 327° w odległości poziomej 66m od anteny sektorowej az. 15° | 0.3-2.0 | <0.003* | 0.003 | 0.05 | 51°6'35.3" 17°2'20.0" |
| 15 | DPP - za trwale zamkniętym oknem Pokój 607 w hotelu Mercure, piętro 6, plac Dominikański 1, Wrocław | 0.3-2.0 | <0.003* | 0.003 | 0.05 | 51°6'31.7" 17°2'22.9" |

Sprawozdanie z badań bez pisemnej zgody laboratorium nie może być powielane inaczej niż w całości.

Wyniki przedstawione w niniejszym sprawozdaniu odnoszą się wyłącznie do badanego obiektu i do warunków i konfiguracji urządzeń w dniu wykonywania pomiarów.

| | | | | | | |
|----|--|---------|--------------|-------|------|--------------------------|
| - | GKP w odległości poziomej 255m od anteny sektorowej az. 150° | 2.0 | 0.007 | 0.01 | 0.13 | 51°6'25.9" 17°2'28.7" |
| 17 | GKP w odległości poziomej 108m od anteny sektorowej az. 15° | 0.3-2.0 | <0.003* | 0.003 | 0.05 | 51°6'36.7" 17°2'23.6" |

GKP – Główny Kierunek Pomiarowy

DPP – Dodatkowy Pion Pomiarowy

PKP – Pomocniczy Kierunek Pomiarowy

¹ wyniki oznaczone * są wynikami poniżej czułości zestawu pomiarowego i są wynikami spoza zakresu akredytacji. Do obliczenia wyniku skorygowanego przyjęto wartość skorelowaną z rzeczywistym wynikiem pomiaru - dolną granicę akredytowanego zakresu pomiarowego metody

² współrzędne geograficzne pozyskane metodą pomiaru bezpośredniego

³ do wyznaczenia wartości wskaźnikowej W_{ME} i W_{MH} przyjęto na podstawie uzgodnień z klientem oraz rozpoznania źródeł, jako wartości dopuszczalne pola elektrycznego i magnetycznego odpowiednio 28 V/m i 0,073 A/m.

⁴ do wyznaczenia niepewności dla wyników poniżej czułości zestawu pomiarowego, przyjęto niepewność dla minimalnej wartości z zakresu pomiarowego.

⁵ maksymalna wartość chwilowa

Niepewność oszacowano zgodnie z dokumentem P-03 „Procedura nadzoru nad wyposażeniem” w postaci niepewności rozszerzonej wynikającej z niepewności standardowej pomnożonej przez współczynnik rozszerzenia $k=2$.

Całkowita szacowana niepewność rozszerzona składowej E wynosi odpowiednio: 28.1% dla częstotliwości do 4 GHz

Pomiarów nie wykonano:

| Oznaczenie braku dostępu | Opis umiejscowienia |
|--------------------------|--|
| A | W budynku biurowym pod adresem Purkyniego 2A, z powodu braku zgody właściciela na wykonanie pomiaru. |
| B | W budynku biurowym pod adresem Purkyniego 2A, z powodu braku zgody właściciela na wykonanie pomiaru. |

W miejscach, w których nie udało się przeprowadzić pomiarów z powodu nieobecności mieszkańców, Laboratorium Badań Środowiskowych NetWorks podejmie próbę ich wykonania podczas kolejnych badań poziomu pól elektromagnetycznych prowadzonych na potrzeby ochrony środowiska.

Umiejscowienie pionów (punktów) pomiarowych przedstawiono w załączniku nr 2 do niniejszego sprawozdania.

10. Omówienie wyników pomiarów

W związku z tym, że żadna z wartości zmierzonych, udokumentowanych w tabelach w pkt. 9, uzyskanych w skutek zastosowania pomiaru szerokopasmowego, powiększonego o rozszerzoną niepewność pomiaru U dla współczynnika rozszerzenia $k = 2$ nie przekroczyła 70% najniższej dopuszczalnej wartości składowej elektrycznej lub magnetycznej pola dla objętych pomiarami zakresów częstotliwości, nie uwzględnia się poprawek pomiarowych.

W wyniku zastosowania sposobu sprawdzenia dotrzymania dopuszczalnych poziomów pól elektromagnetycznych w środowisku, zgodnie pkt 25 ppkt 1 Rozporządzenia Ministra Klimatu z dnia 17 lutego 2020 r. (Dz. U. 2022, poz. 2630), w związku z tym, że żadna z wartości wskaźnikowych, udokumentowanych w tabelach w pkt. 9 nie przekracza wartości 1, stwierdza się, że w miejscach, w których wykonano pomiary w otoczeniu instalacji radiokomunikacyjnej 14803 (77208N!) WROCŁAW WITA 2 (PWR_WROCLAW_PLDOMINIKANSK), dopuszczalne poziomy pól elektromagnetycznych w środowisku należy uznać za dotrzymane.

Miejsca niedostępne podczas wykonywania pomiarów wskazane zostały w pkt. 9 (Wyniki pomiarów) lub na załączniku przedstawiającym usytuowanie pionów pomiarowych.

Sprawozdanie z badań bez pisemnej zgody laboratorium nie może być powielane inaczej niż w całości.

Wyniki przedstawione w niniejszym sprawozdaniu odnoszą się wyłącznie do badanego obiektu i do warunków i konfiguracji urządzeń w dniu wykonywania pomiarów.

11. Podstawa prawna

- 1) Ustawa z dnia 27 kwietnia 2001 r. Prawo ochrony środowiska (T. j. Dz. U. z 2025 r., poz. 647 z późn. zm.)
- 2) Rozporządzenie Ministra Zdrowia z dnia 17 grudnia 2019 r. w sprawie dopuszczalnych poziomów pól elektromagnetycznych w środowisku (Dz. U. 2019, poz. 2448)
- 3) Rozporządzenie Ministra Klimatu z dnia 17 lutego 2020 r. w sprawie sposobów sprawdzania dotrzymania dopuszczalnych poziomów pól elektromagnetycznych w środowisku (Dz. U. 2022, poz. 2630),
- 4) Akredytacja nr AB 419 wydana przez Polskie Centrum Akredytacji (wydanie 24, z dnia 14 stycznia 2026r.)


12. Spis załączników

- Załącznik 1. Lokalizacja obiektu badań
Załącznik 2. Usytuowanie pionów (punktów) pomiarowych
Załącznik 3. Dokumentacja fotograficzna obiektu badań

13. Data wydania i autoryzowania sprawozdania

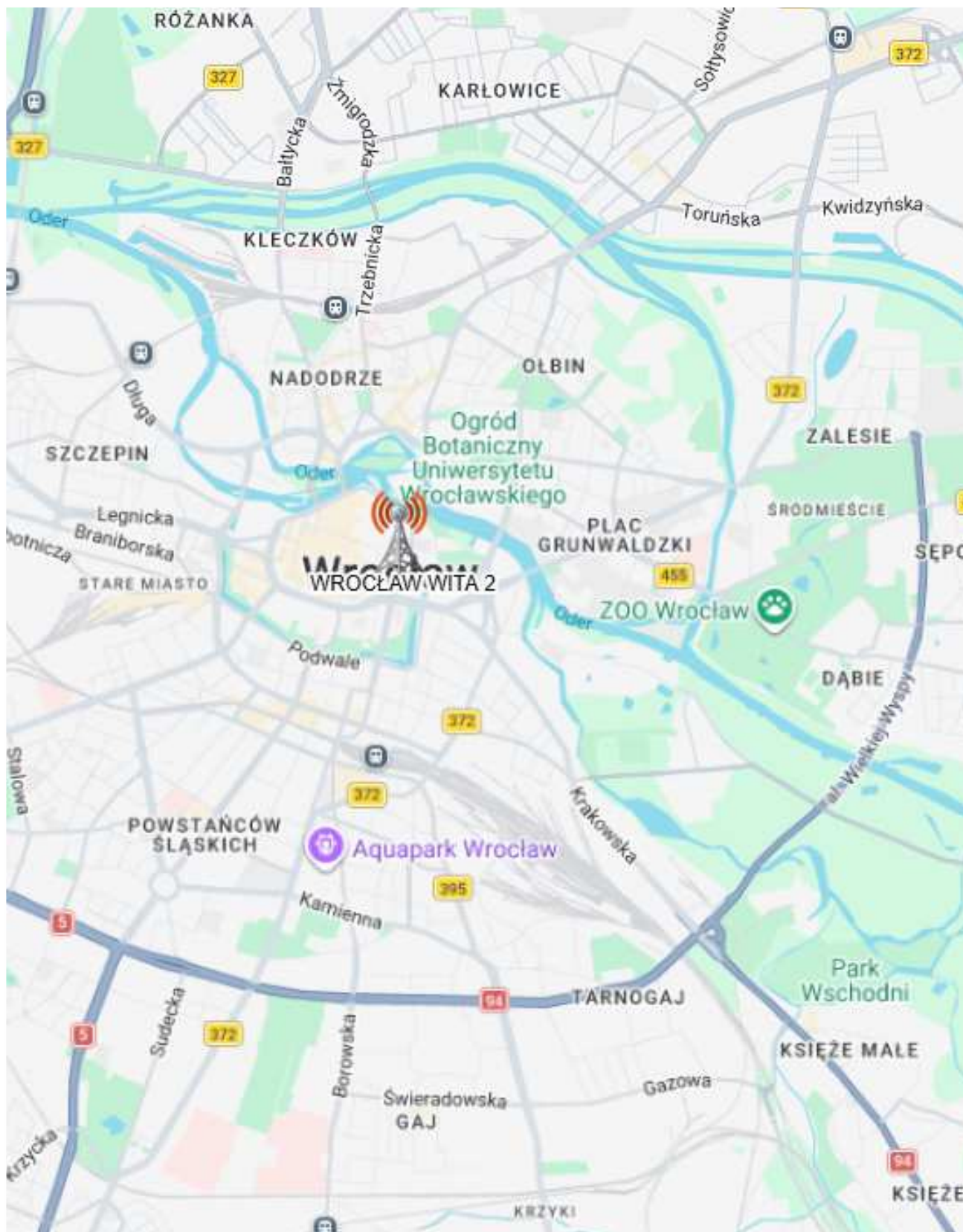
Obliczenia i sprawozdanie wykonał :

Sprawozdanie autoryzował:

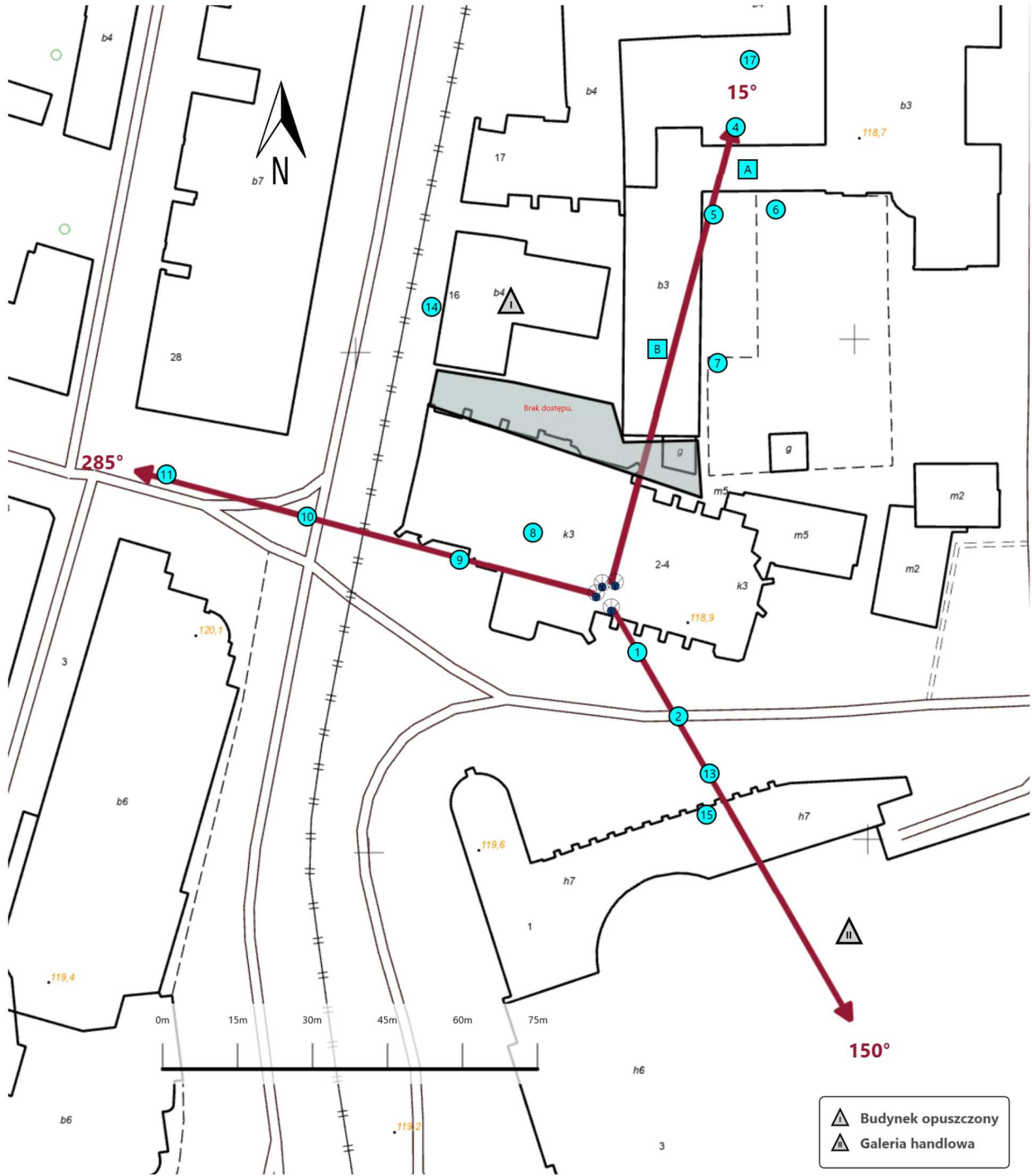
**Karolina
Blanik**






Elektronicznie podpisany
przez Karolina Blanik
Data: 2026.06.16
14:08:14 +02'00'

Koniec sprawozdaniaSigned by /
Podpisano przez:Angelika
OkoniewskaDate / Data: 2026-
06-17 10:38



| | |
|----------------|---|
| Załącznik nr 1 | <p style="text-align: center;">Instalacja radiokomunikacyjna Orange Polska S.A. 14803 (77208N!) WROCLAW WITA 2 (PWR_WROCLAW_PLDOMINANSK) Lokalizacja instalacji</p> |
|----------------|---|



| | |
|----------------|--|
| Załącznik nr 2 | <p style="text-align: center;">Instalacja radiokomunikacyjna Orange Polska S.A. PWR_WROCLAW_PLDOMINIKANSK (77208N!)</p> <p style="text-align: center;">Usytuowanie pionów pomiarowych w otoczeniu instalacji radiokomunikacyjnej</p> |
| | <p>Legenda:</p> <div style="display: flex; justify-content: space-around; align-items: flex-start;"> <div style="text-align: center;">  Źródło pola elektromagnetycznego </div> <div style="text-align: center;">  Brak dostępu </div> <div style="text-align: center;">  Pion pomiarowy </div> <div style="text-align: center;">  Kierunek oddziaływania anten sektorowych </div> <div style="text-align: center;">  Kierunek oddziaływania anten radioliniowych </div> </div> |



Załącznik nr 3

Instalacja radiokomunikacyjna Orange Polska S.A.
14803 (77208N!) WROCLAW WITA 2 (PWR_WROCLAW_PLDOMINIKANSK)
Dokumentacja fotograficzna